



**INGV**  
terremoti  
vulcani  
ambiente

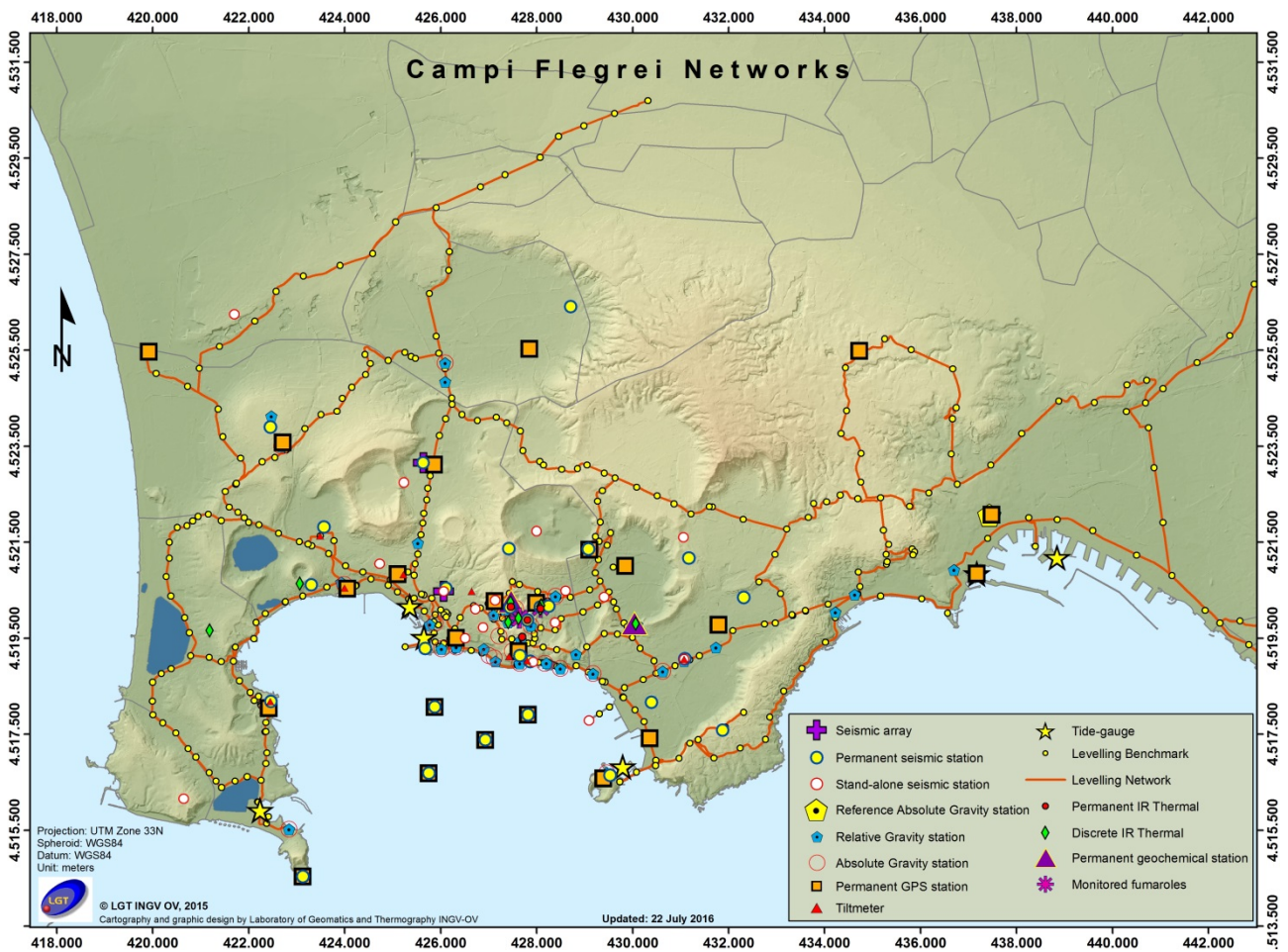
ISTITUTO NAZIONALE  
DI GEOFISICA E VULCANOLOGIA

# Bollettino di Sorveglianza

## CAMPI FLEGREI

### GENNAIO 2017

Sezione di Napoli  
OSSERVATORIO VESUVIANO



Via Diocleziano, 328  
80124 NAPOLI | Italia  
Tel.: +39 0816108483  
Fax: +39 0816102304  
[aoo.napoli@pec.ingv.it](mailto:aoo.napoli@pec.ingv.it)  
[www.ov.ingv.it](http://www.ov.ingv.it)

## CAMPI FLEGREI

Nel corso del mese di gennaio 2017 sono stati registrati 5 terremoti di bassa magnitudo ( $M_{max}=0.4$ ). Nello stesso periodo non si osservano deformazioni del suolo significative. I parametri geochimici rientrano nei trend già identificati in precedenza.

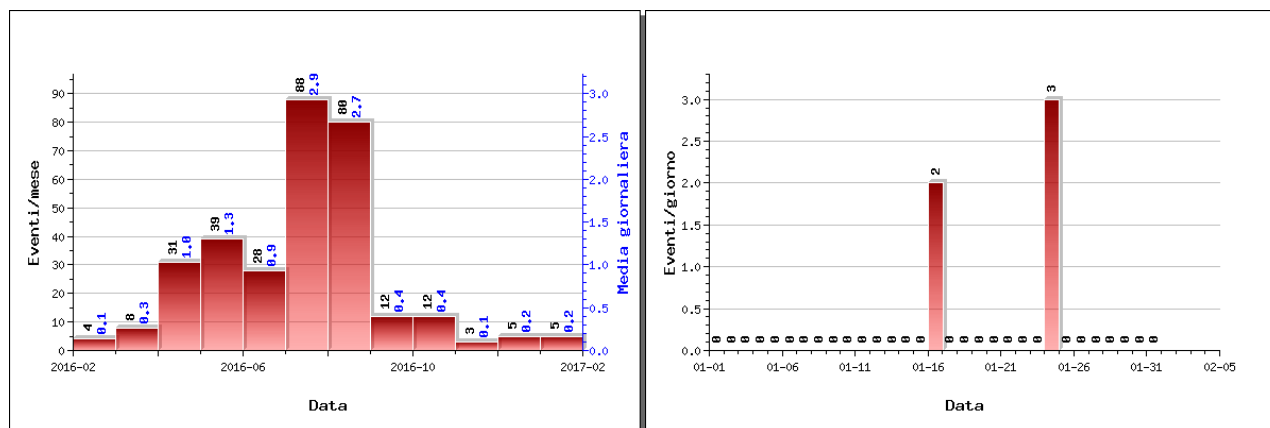
Sulla base dell'attuale stato dell'attività vulcanica, non sono previste significative evoluzioni nel breve termine. Il monitoraggio dell'area flegrea permane al livello di "Attenzione".

### 1 - Sismicità

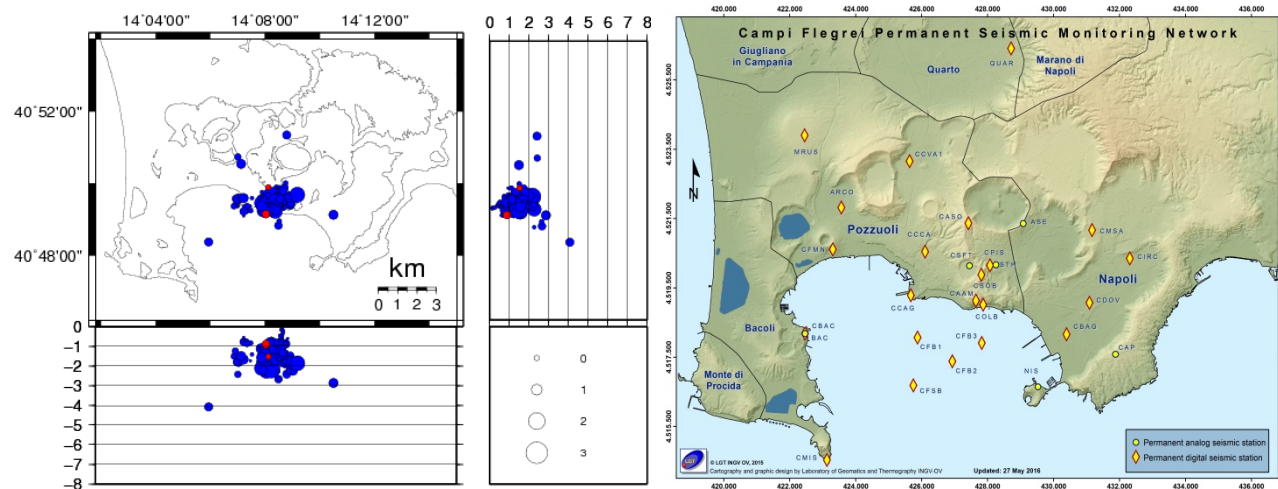
Nel corso del mese di gennaio 2017, ai Campi Flegrei, sono stati registrati 5 terremoti di bassa magnitudo ( $M_{max}=0.4$  eventi del 24/01 alle 22:09 e 22:59) (Fig. 1.1).

E' stato possibile determinare l'ipocentro di 2 degli eventi registrati; le localizzazioni sono mostrate in Fig. 1.2.

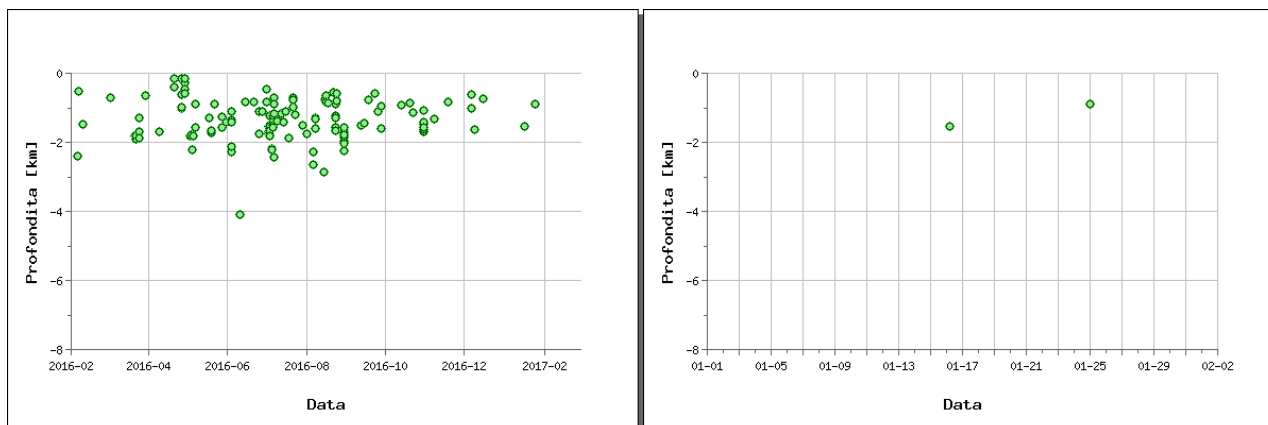
Non si evidenziano trend significativi negli altri parametri sismologici (Fig. 1.3, 1.4, 1.5).



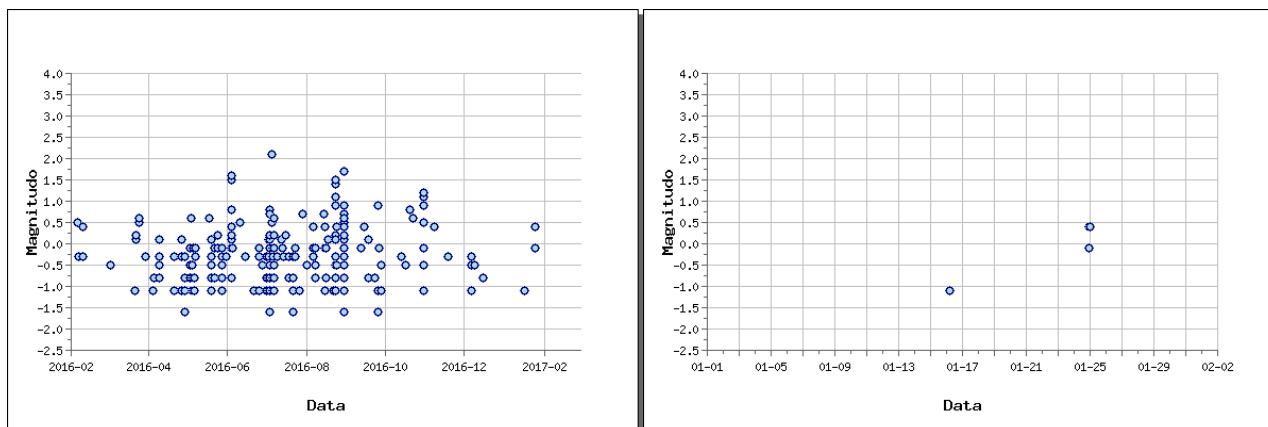
**Figura 1.1** - A sinistra numero di eventi registrati ai Campi Flegrei nel corso degli ultimi 12 mesi (in totale 315), mentre a destra quelli avvenuti nell'ultimo mese (in totale 5).



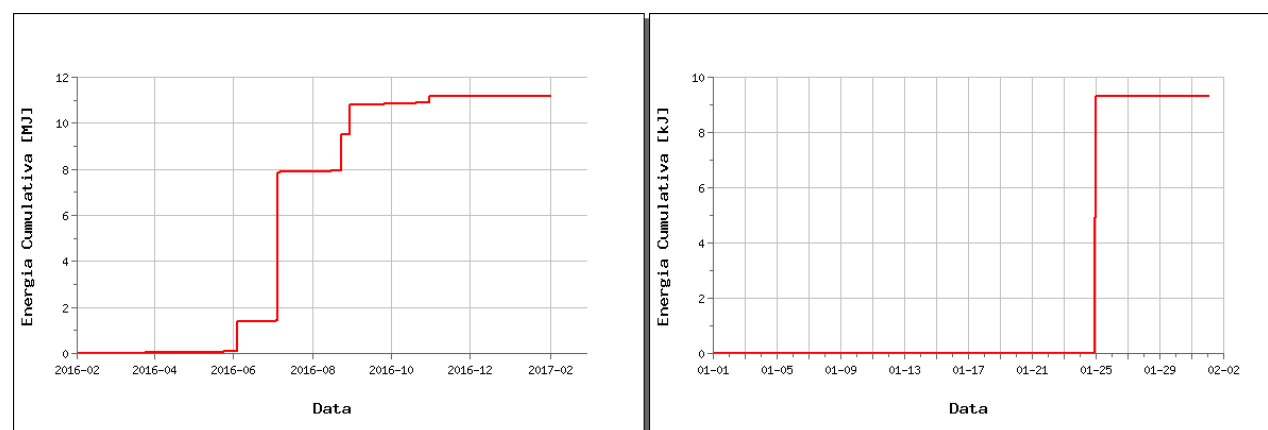
**Figura 1.2** - Localizzazioni ipocentrali ai Campi Flegrei nel corso degli ultimi 12 mesi (in blu) e dell'ultimo mese (in rosso). La dimensione dei simboli è proporzionale alla magnitudo, come indicato nel riquadro in basso. A destra è mostrata la mappa con la Rete Sismica Permanente dei Campi Flegrei.



**Figura 1.3** - Profondità ipocentrali degli eventi registrati ai Campi Flegrei nel corso degli ultimi 12 mesi (a sinistra) e dell'ultimo mese (a destra).



**Figura 1.4** - Magnitudo degli eventi registrati ai Campi Flegrei nel corso degli ultimi 12 mesi (a sinistra) e dell'ultimo mese (a destra).

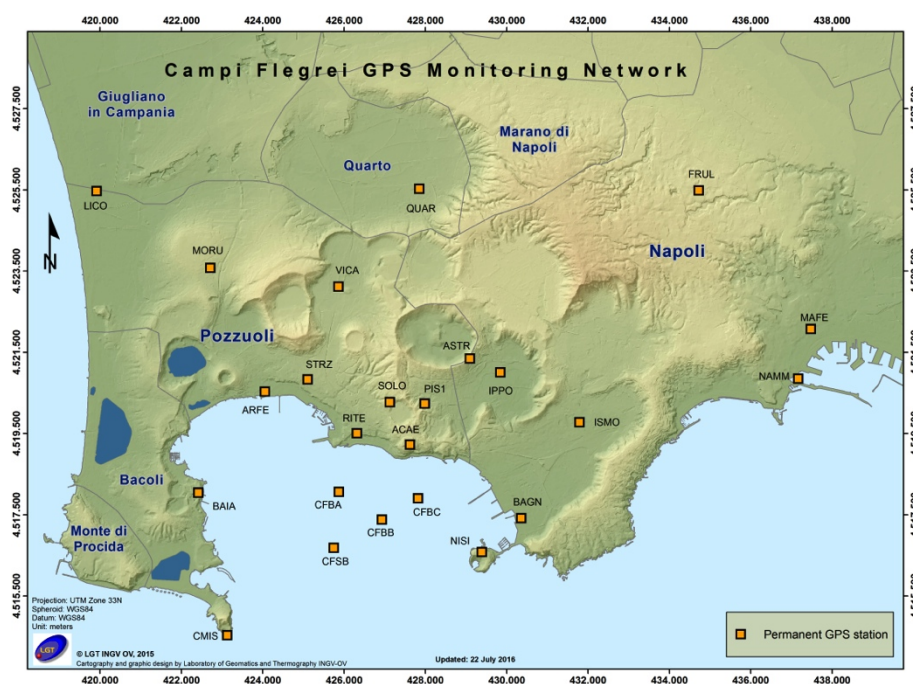


**Figura 1.5** - Rilascio cumulativo di energia sismica ai Campi Flegrei nel corso degli ultimi 12 mesi (a sinistra) e dell'ultimo mese (a destra).

## 2 - Deformazioni del Suolo

### GPS

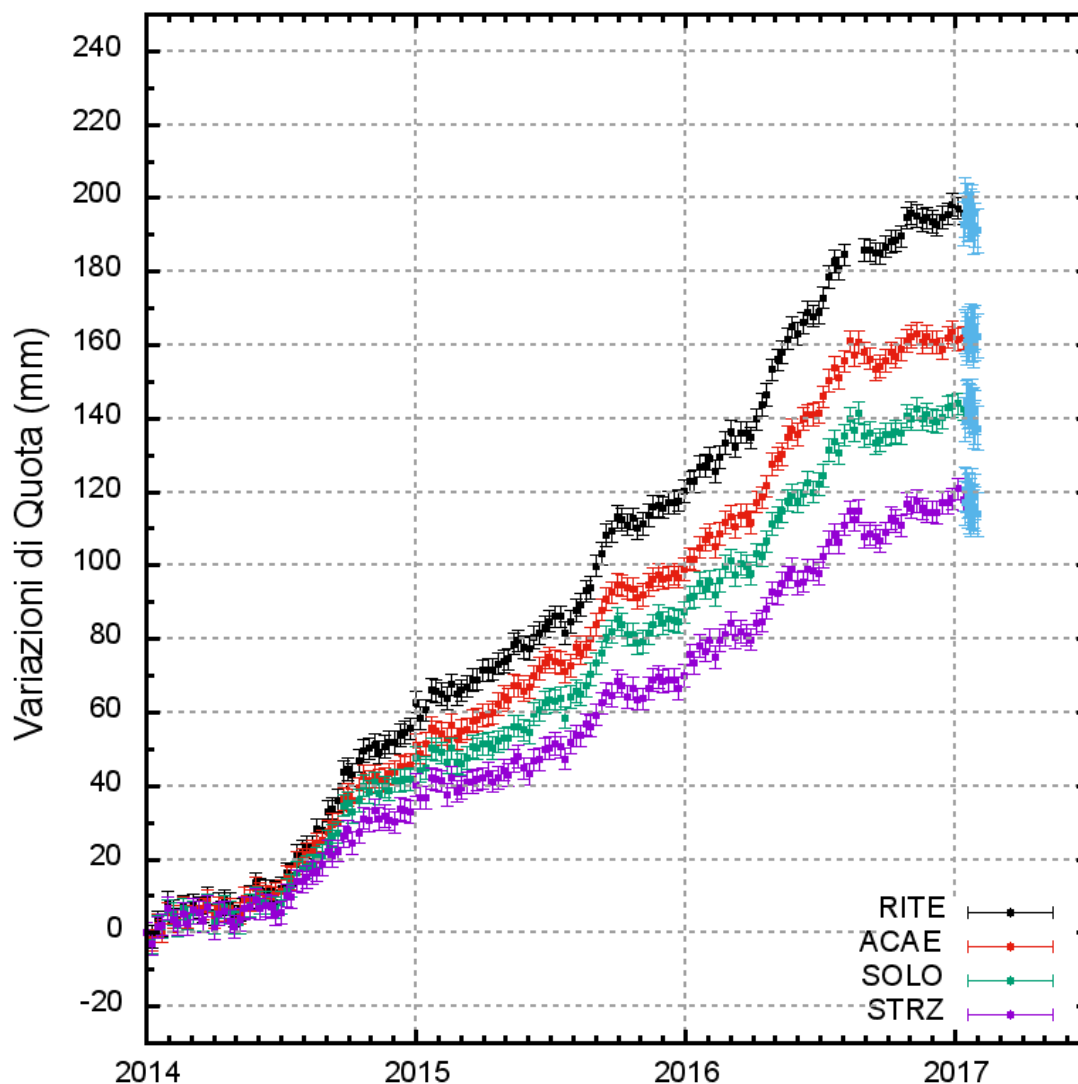
Dalla metà di novembre non si osservano deformazioni del suolo significative. Il sollevamento registrato alla stazione GPS di RITE (Pozzuoli – Rione Terra) è di circa 20 cm a partire da gennaio 2014, di cui circa 8 cm da gennaio 2016 (Fig. 2.2 e Fig. 2.3).



**Figura 2.1** - Rete GPS Permanente dei Campi Flegrei.



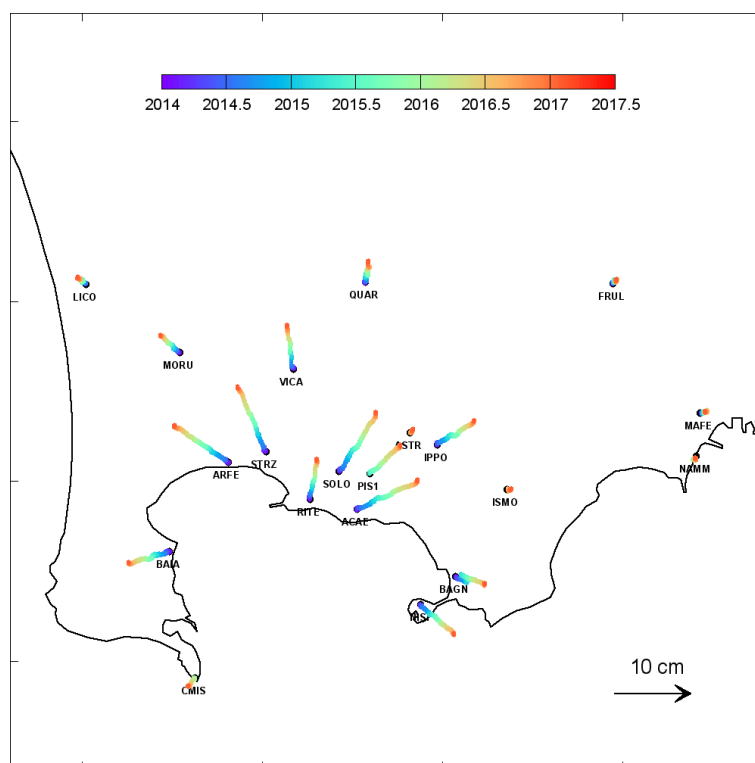
**Figura 2.2** - Serie temporale delle variazioni settimanali in quota della stazione di RITE (Pozzuoli – Rione Terra) dal 2000 a gennaio 2017.



**Figura 2.3** - Serie temporale delle variazioni in quota della stazione di RITE (Pozzuoli - Rione Terra), ACAE (Accademia Aeronautica), SOLO (Solfatara) e STRZ (Pozzuoli - Cimitero) dal 01 gennaio 2014 al 31 gennaio 2017.

In Figura 2.4 è riportata la mappa dei vettori degli spostamenti orizzontali registrati alle stazioni CGPS ai Campi Flegrei dal 2014.

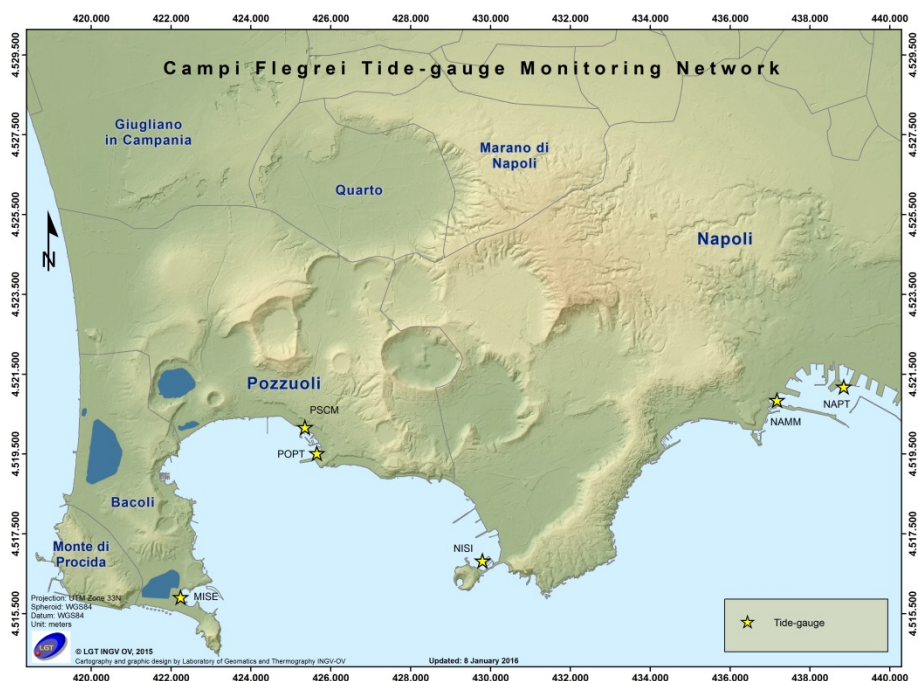
La forma del campo di deformazione è simile a quelle già individuate nelle precedenti fasi del sollevamento e suggerisce una stabilità della sorgente di deformazione, localizzata nel Golfo di Pozzuoli a qualche centinaio di metri a sud della stazione di RITE.



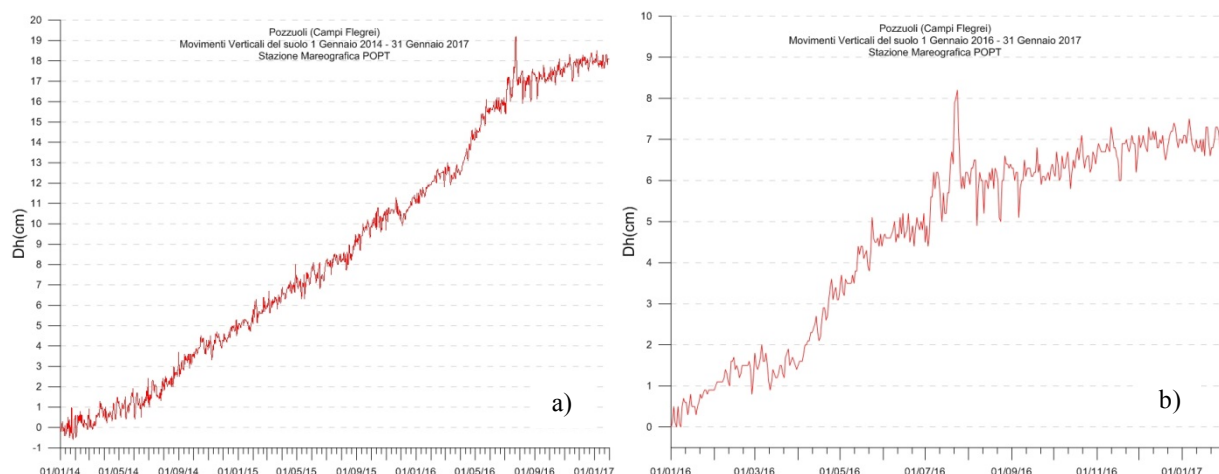
**Figura 2.4** - Mappa degli spostamenti GPS orizzontali registrati nell'area flegrea dal 01 gennaio 2014 al 31 dicembre 2016.

## Mareometria

La Rete Mareografica è riportata in Figura 2.5.



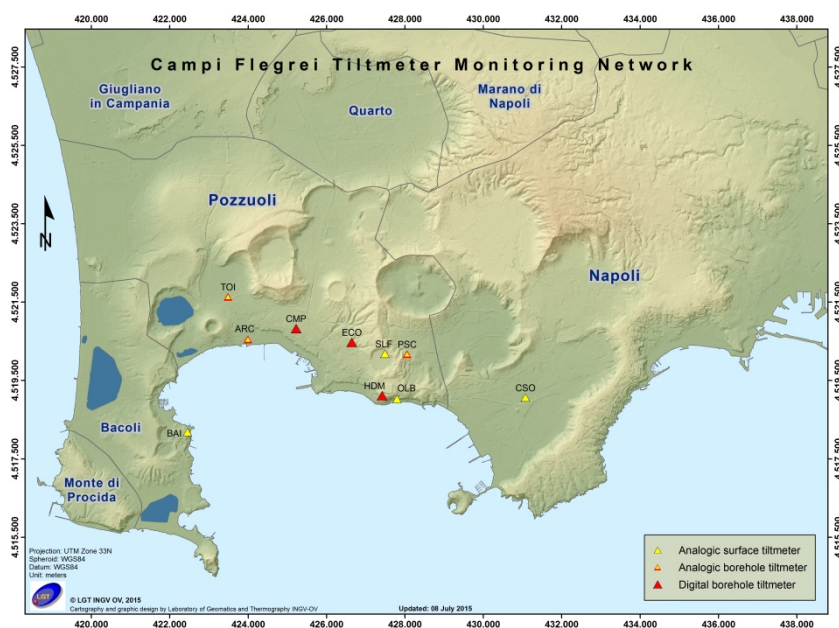
**Figura 2.5** - Rete Mareografica di Campi Flegrei.



**Figura 2.6** - Movimenti verticali del suolo, nel periodo gennaio 2014 - gennaio 2017 (a) e gennaio 2016 – gennaio 2017 (b), ottenuti dall’analisi dei dati acquisiti dal sensore digitale alla stazione mareografica di Pozzuoli Porto (POPT) (area centrale della caldera flegrea). Le variazioni riportate rappresentano le medie giornaliere e sono riferite alla stazione di Napoli molo S.Vincenzo (NAMM).

## Tiltmetria

La Rete di Monitoraggio delle inclinazioni del suolo dei Campi Flegrei consiste in 10 stazioni di cui 4 equipaggiate con sensori analogici di superficie (BAI, SLF, TOI, CSO), 3 con tiltmetri analogici da pozzo (PSC, ARC, TOI installati da 1 a 7 m di profondità) e 3 con sensori digitali da pozzo (CMP, ECO, HDM installati a 25 m di profondità) (Fig. 2.5). Tutte le stazioni acquisiscono con passo di campionamento ogni minuto e trasmettono quotidianamente al Centro di Monitoraggio dell’Osservatorio Vesuviano secondo 4 modalità di trasmissione (cavo telefonico, GSM, Rete Hiperlan, Router UMTS).

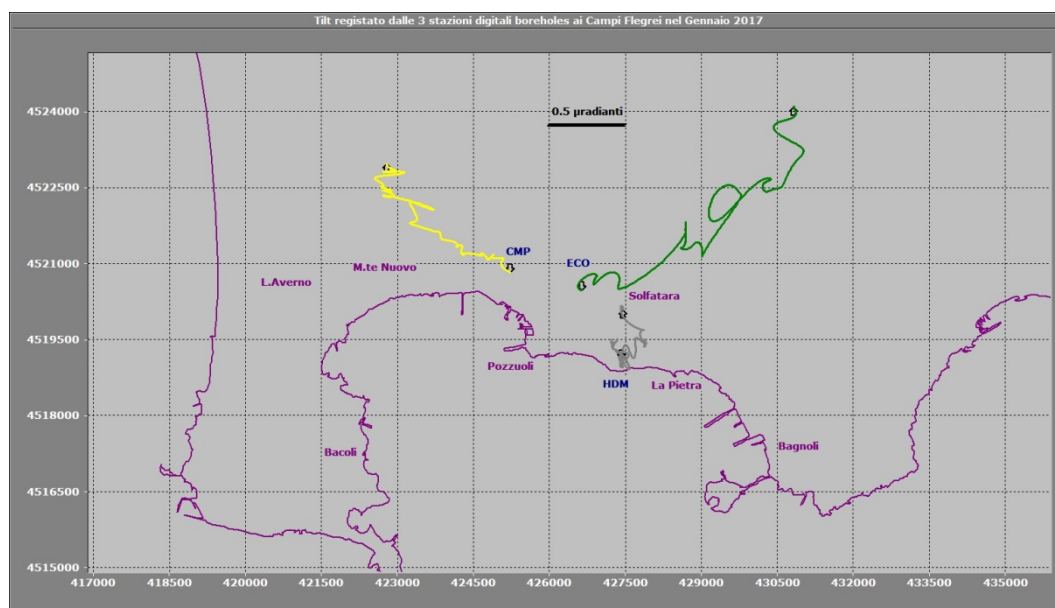


**Figura 2.5** – Rete Tiltmetrica dei Campi Flegrei.

I segnali registrati dalle stazioni tiltmetriche analogiche flegree consistono in time-series di variazioni di inclinazione del suolo lungo due piani ortogonali (NS ed EW), di temperatura e di pressione atmosferica. Le sequenze tiltmetriche considerate per il calcolo del campo di inclinazione del suolo derivano dalle time-series registrate, sottoposte ad un trattamento statistico di decorrelazione dagli effetti termici (dovuti primariamente all'insolazione diurna) allo scopo di rimuoverne gli effetti sui segnali stessi.

Le time-series acquisite dai tiltmetri digitali (tra cui figura anche la temperatura e la declinazione magnetica) non vengono decorrelate in quanto gli stessi sono posizionati a profondità a cui gli estremanti termici diurni ed annuali sono molto prossimi tra di loro.

Il pattern di inclinazione calcolato ai Campi Flegrei a gennaio 2017 è coerente con un uplift quasi radiale non costante nel tempo ed è visibile in Figura 2.6.



**Figura 2.6** - Odografo del tilting registrato a 3 stazioni dei Campi Flegrei a gennaio 2017. Per chiarezza di rappresentazione grafica sono state selezionate solo le stazioni boreholes con sensori ubicati a 25 m di profondità.

La deformazione relativa ad ogni sito-stazione è rappresentata con segmenti orientati di colore diverso; l'origine di ogni vettore tilt è siglata con il nome del sito stesso ed evidenziata con una freccia puntata verso il basso mentre l'estremo libero è indicato con una freccia puntata verso l'alto. Il verso di ogni vettore (che indica settori di crosta in abbassamento) è univocamente definito dal suo estremo libero.

Nella Tabella seguente sono riportati i valori di inclinazione del, la direzione di tilting e la variazione di temperatura registrata a fondo pozzo ( $\approx -25$  m dal p.c.):

Sito	Inclinazione e direzione	Temperatura
Stazione ECO (89 m s.l.m.)	1.8 $\mu$ radianti a NE	0.00 °C
Stazione CMP (62 m s.l.m.)	1.1 $\mu$ radianti a NW	0.00 °C
Stazione HDM(112 m s.l.m.)	0.3 $\mu$ radianti a N	0.00 °C

La radialità della deformazione rispetto a Pozzuoli è rispettata dalle stazioni CMP ed ECO; alla stazione HDM si osserva invece una spiccata inclinazione verso N, fenomeno cominciato tra la fine di Ottobre e gli inizi di Novembre del 2016.

Come già osservato durante i terremoti più forti della sequenza sismica di Amatrice del 2016, il sito-stazione ECO ha risentito dei terremoti avvenuti il 18 Gennaio durante la sequenza sismica dell'Aquila, inclinandosi permanentemente di 0.2  $\mu$ radianti in direzione WSW (Figura 2.7).

Tale offset cosismico si aggiunge a quelli registrati il 24/8/2016 (0.71  $\mu$ radianti in direzione E), il 26/10/2016 (0.15  $\mu$ radianti in direzione W) ed ancora il 30/10/2016 (0.28  $\mu$ radianti in direzione SE).

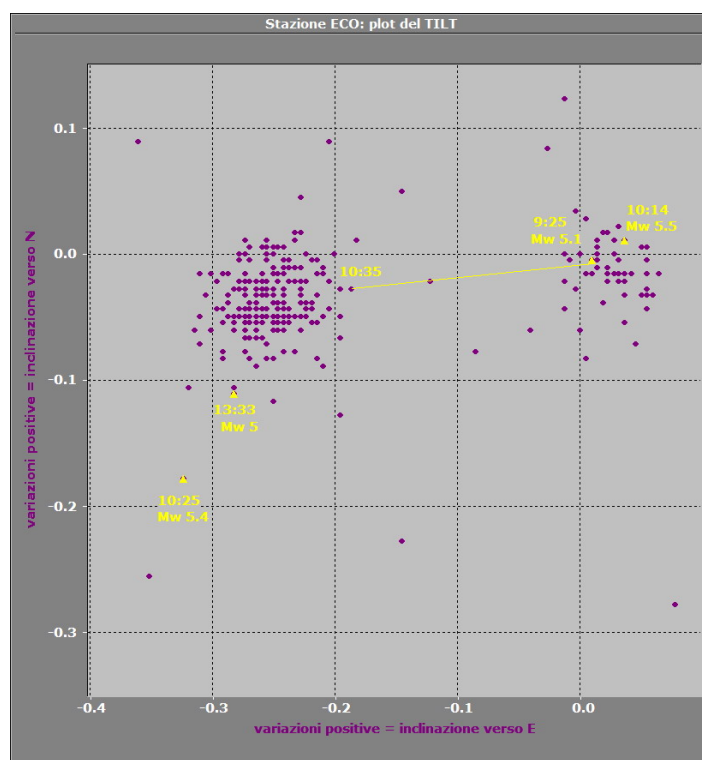


Figura 2.7 - Nuvola di punti nella griglia delle inclinazioni che rappresenta la variazione tiltmetrica registrata alla stazione ECO dalle ore 09:00 alle ore 14:00 UTC del 18 gennaio 2017. Nell'odografo si osservano 2 concentrazioni spaziali di punti (clusters) separate tra loro in corrispondenza dell'arrivo dei treni di onde generati dal I e II dei 4 eventi più energetici della sequenza sismica dell'Aquila (9:25 e 10:14); questo offset spaziale si configura pertanto come deformazione cosismica permanente.

### 3 – Geochimica dei Fluidi

L'attività di monitoraggio svolta nel mese di gennaio 2017 ha riguardato:

- l'acquisizione in continuo di dati di flusso di CO<sub>2</sub> dal suolo e della temperatura della fumarola principale a Pisciarelli;
- l'acquisizione in continuo di dati di flusso di CO<sub>2</sub> dal suolo e del gradiente termico nel cratere della Solfatara;
- misure di flusso di CO<sub>2</sub> dal suolo e temperatura del suolo su punti fissi selezionati nelle aree della Solfatara e di Pisciarelli;
- il campionamento delle principali fumarole della Solfatara (BG e BN) e di Pisciarelli.

Di seguito vengono riportate le osservazioni più rilevanti sui nuovi dati acquisiti.

Una dettagliata descrizione del modello geochimico interpretativo del sistema idrotermale della Solfatara, delle variazioni composizionali registrate e delle possibili interpretazioni sono riportate nei seguenti lavori scientifici: Caliro et al., (2007; 2014); Chiodini (2009); Chiodini et al., (2010; 2011; 2012; 2015a,b), ai quali si rimanda per approfondimento.

Le analisi di laboratorio dei campioni prelevati evidenziano il perdurare dei trends già identificati in precedenza (vedi rapporti di sorveglianza precedenti; Figg. 3.1-4).

Il rapporto  $\text{CO}_2/\text{H}_2\text{O}$  delle fumarole (Fig. 3.1) nei campioni di dicembre è rimasto a valori elevati (~0.34 per la fumarola BG), che in generale testimoniano una elevata frazione di gas magmatici presente nei fluidi fumarolici (Caliro et al., 2007; Chiodini et al., 2010). La distribuzione dei dati così delineata nel tempo, seppur caratterizzata da sensibili oscillazioni del valore, suggerisce la possibilità del raggiungimento di un massimo tra il 2013 e il 2014.

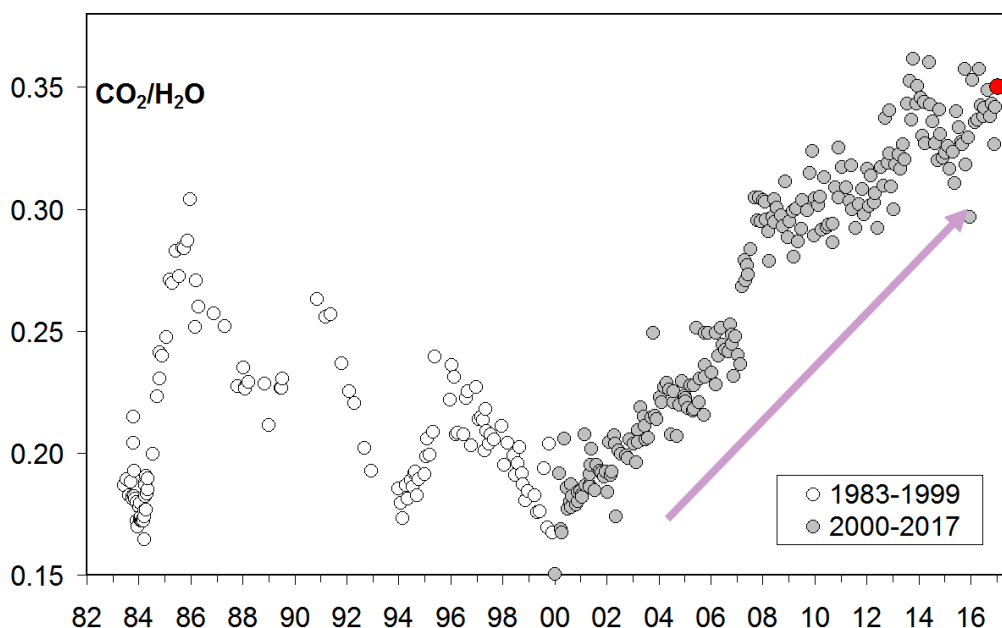
In particolare, l'interpretazione di queste variazioni risulta più complessa alla luce dei recenti studi che mettono in evidenza come possibili processi di condensazione del vapore nel sistema idrotermale, in risposta ad un aumento del flusso dei fluidi magmatici (e della pressione) e allo stato termico del sistema, possano influenzare il rapporto  $\text{CO}_2/\text{H}_2\text{O}$  misurato alle fumarole (Chiodini et al., 2015a, 2016). Inoltre è possibile che una frazione della  $\text{CO}_2$  emessa dalle fumarole sia prodotta, in seguito all'aumento di temperatura del sistema, da reazioni che coinvolgono la calcite di origine idrotermale presente nel sistema (Chiodini et al., 2015b).

L'analisi di geindicatori di Temperatura e Pressione, basati sulle composizioni delle fumarole BG e BN, indicano il progressivo riscaldamento delle parti più superficiali del sistema idrotermale della Solfatara. In particolare, le concentrazioni di CO, disponibili alla Solfatara di Pozzuoli fin dalla crisi del 1983-84, a partire dagli inizi degli anni 2000 mostrano un evidente trend di crescita, che è particolarmente marcato negli ultimi mesi (fumarola BG, Fig. 3.2). Tale crescita è a nostro parere rilevante poiché il CO è fra le specie fumaroliche analizzate quella più sensibile alla temperatura. Assumendo come buffer delle condizioni redox del sistema idrotermale la funzione di D'Amore and Panichi (1980), che in generale ben descrive la  $f\text{O}_2$  in molti dei sistemi idrotermali del mondo, il trend del CO corrisponderebbe ad un aumento di temperatura di circa 20°C fra gli inizi degli anni 2000 (T circa 215 °C) e il 2014-2016 (T circa 235°C, Fig. 3.3). Tale processo di riscaldamento del sistema flegreo e le possibili cause sono trattate in modo approfondito nei lavori scientifici Chiodini et al. (2015a, 2016) a cui si rimanda per approfondimento.

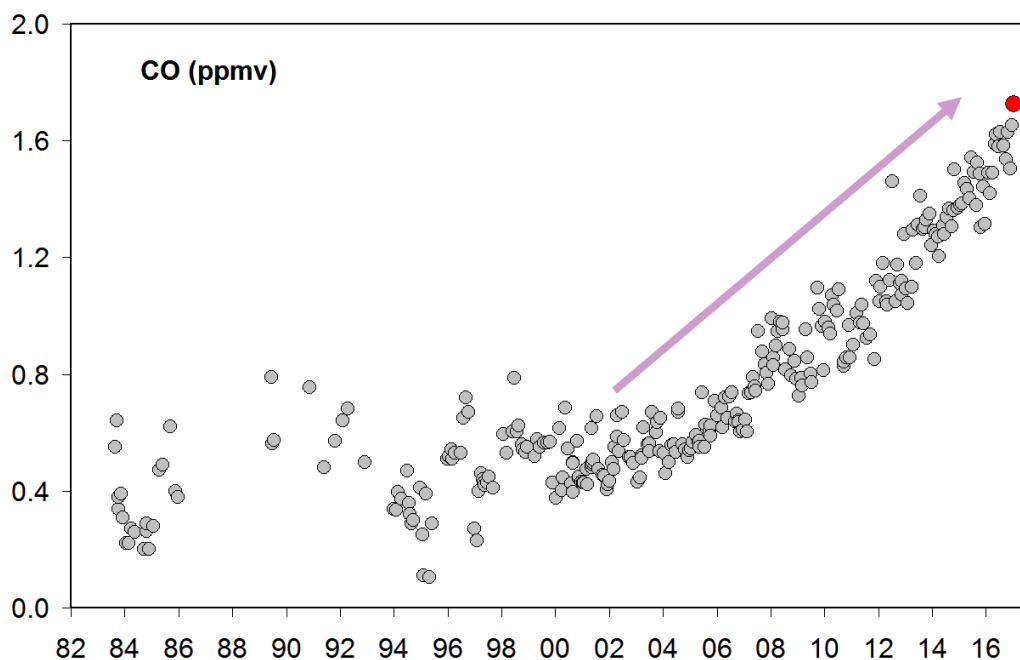
Il cronogramma del rapporto  $\text{CO}_2/\text{CH}_4$  (Fig. 3.4) mostra picchi positivi, interpretabili come dovuti all'arrivo di fluidi magmatici ossidanti, e a basso contenuto in  $\text{CH}_4$ , nel sistema idrotermale (Chiodini 2009; Chiodini et al., 2010; 2011; 2012). I vari picchi corrisponderebbero quindi ad eventi di degassamento magmatico e conseguente immissione di fluidi magmatici nel sistema idrotermale che alimenta le fumarole della Solfatara. Per maggiori dettagli su tale processo si rimanda ad uno specifico lavoro scientifico (Chiodini et al., 2012). Inoltre, in Figura 3.4, è possibile riconoscere un trend d'aumento del rapporto a partire dal 2000. Sia l'aumento della temperatura di equilibrio della parte più profonda del sistema idrotermale che variazioni delle sue condizioni redox (verso condizioni più ossidanti, magmatiche) possono essere la causa dell'aumento del rapporto  $\text{CO}_2/\text{CH}_4$  (i.e. diminuzione relativa delle concentrazioni di  $\text{CH}_4$ ) (Chiodini et al., 2015a).

Il processo di riscaldamento e pressurizzazione della parte più superficiale del sistema idrotermale, iniziato a partire dal 2007 (Chiodini et al., 2011) e tuttora in corso, causa a nostro avviso le variazioni macroscopiche osservate a Pisciarelli (Fig. 3.5) e che negli

ultimi anni sono consistite nell'apertura di nuovi vent fumarolici e di polle bollenti, nell'emissione di fango, in attività sismica localizzata, nell'aumento della temperatura della fumarola principale (Figg. 3.6, 3.7), nell'aumento dei flussi misurati in continuo dalla stazione FLXOV3 (Fig. 3.8).

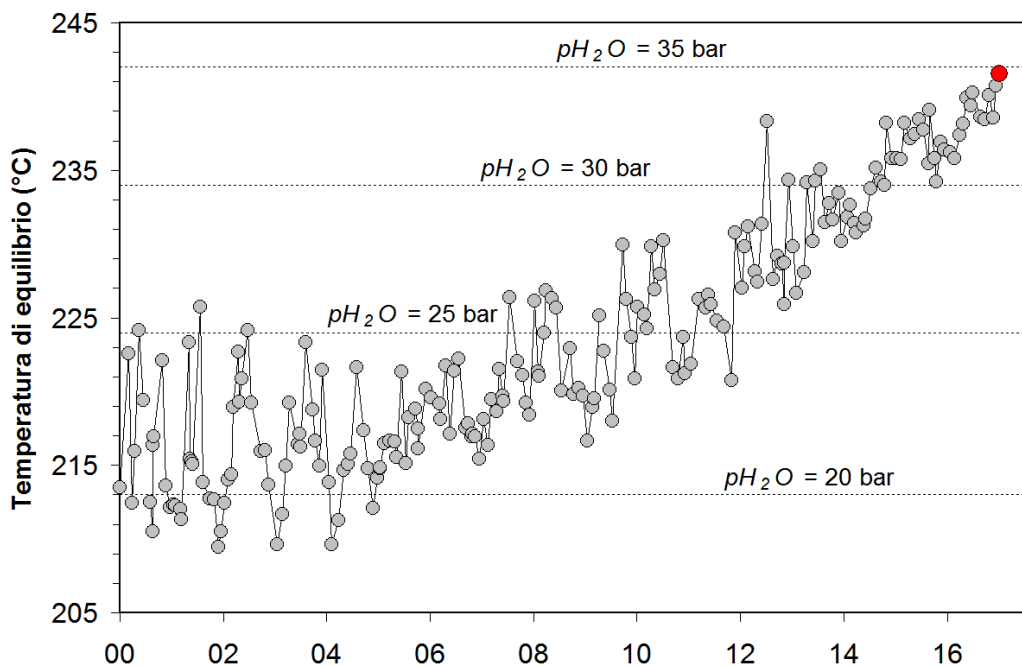


**Figura 3.1** - Cronogramma del rapporto  $CO_2/H_2O$  per la fumarola BG. In grigio sono riportati i dati a partire dal 2000, quando è iniziato un trend d'aumento del rapporto  $CO_2/H_2O$  indicativo, in generale, di una crescente frazione della componente magmatica nei fluidi fumarolici. Con il simbolo rosso è evidenziato il campione di gennaio 2017.

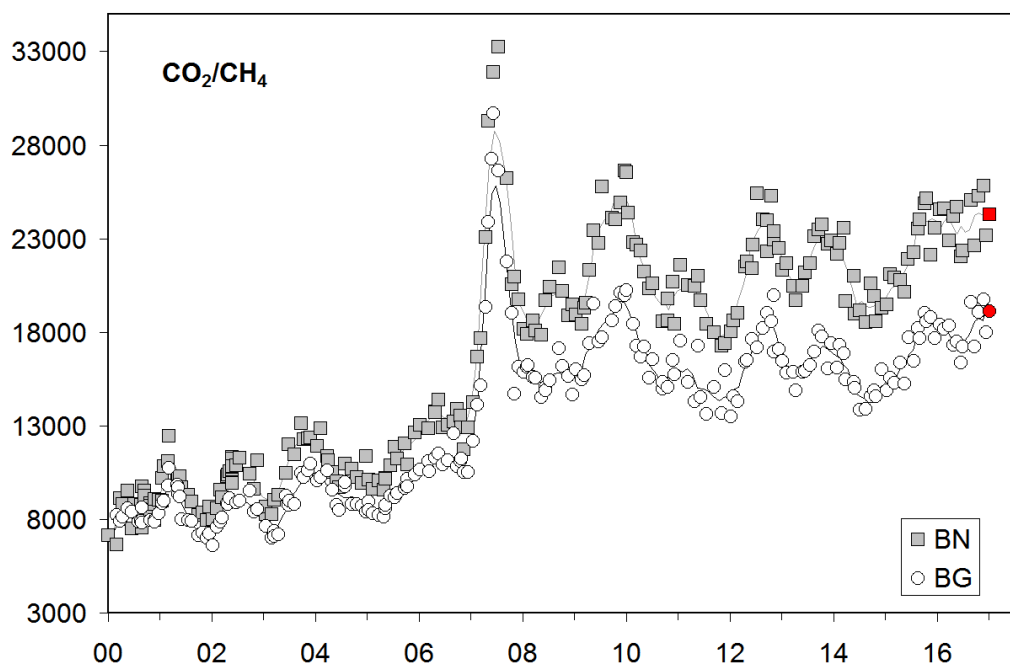


**Figura 3.2** - Variazioni della concentrazione di monossido di carbonio (CO) misurato alla fumarola BG a partire dal 1983. Con il simbolo rosso è evidenziato il campione di gennaio 2017. In generale alti contenuti di CO caratterizzano sistemi vulcanici ad elevata temperatura mentre fumarole alimentate da sistemi

idrotermali mostrano concentrazioni più basse, in tali sistemi un aumento delle concentrazioni di CO può riflettere un incremento delle condizioni di pressione e temperatura.



**Figura 3.3** - Cronogramma delle temperature di equilibrio per il sistema CO-CO<sub>2</sub>, stimate assumendo condizioni redox fissate dalla relazione di D'Amore and Panichi (1980). Tali temperature, rappresentative della parte più superficiale del sistema idrotermale (Caliro et al., 2007), mostrano un trend d'aumento a partire dai primi anni del 2000. Con il simbolo rosso è evidenziato il campione di gennaio 2017 relativo alla fumarola BG.

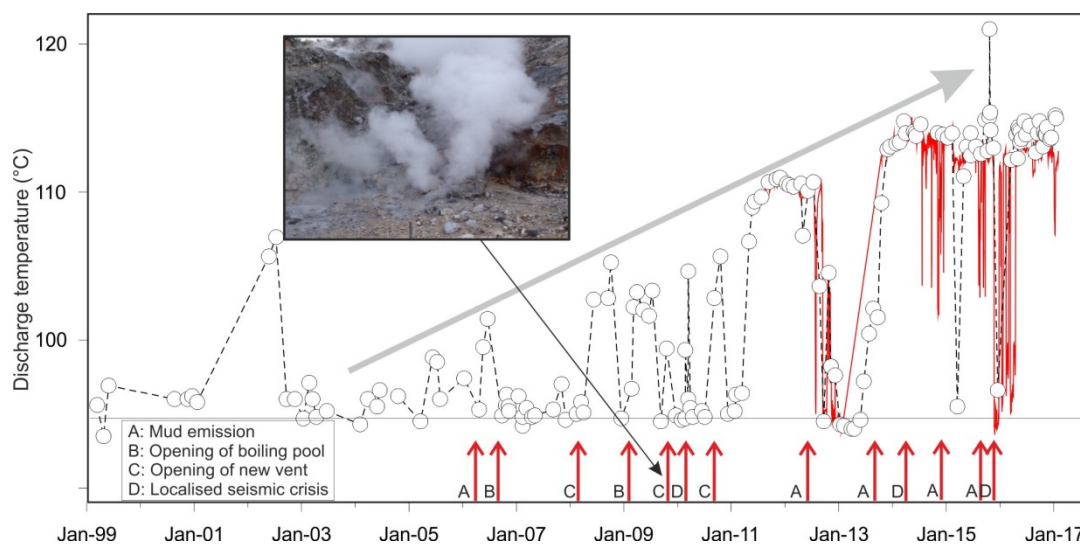


**Figura 3.4** - Variazioni del rapporto CO<sub>2</sub>/CH<sub>4</sub> per le fumarole BG e BN a partire dal 2000. I picchi nel rapporto, registrati in superficie con circa un anno di ritardo, evidenziano episodi di degassamento magmatico occorsi ai Campi Flegrei (Chiodini et al., 2012). Con i simboli rossi sono evidenziati i campioni di gennaio 2017.

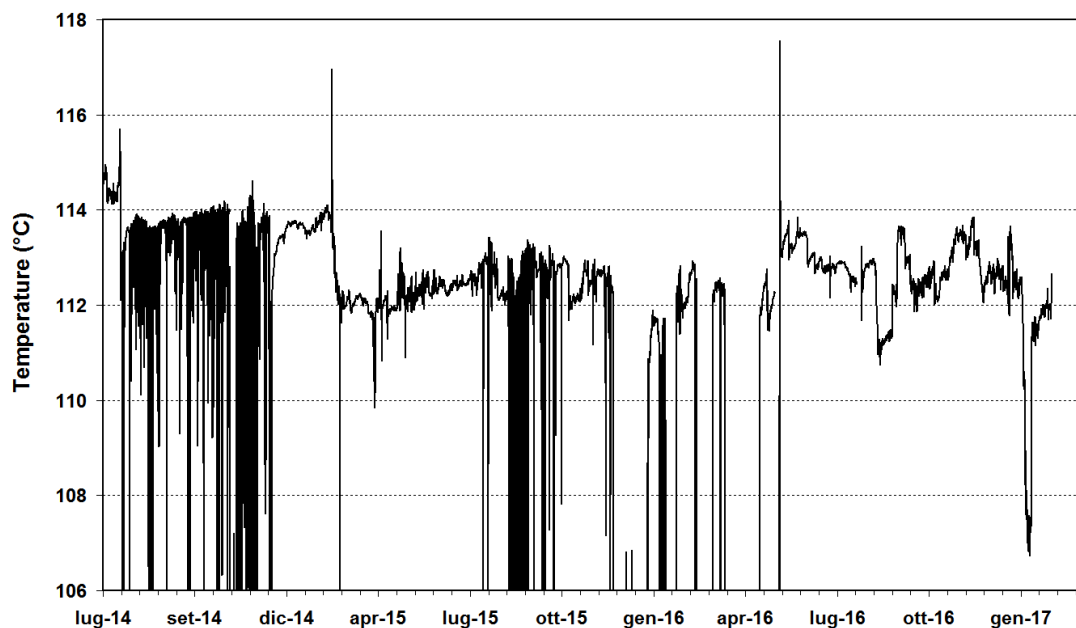
## PISCIARELLI



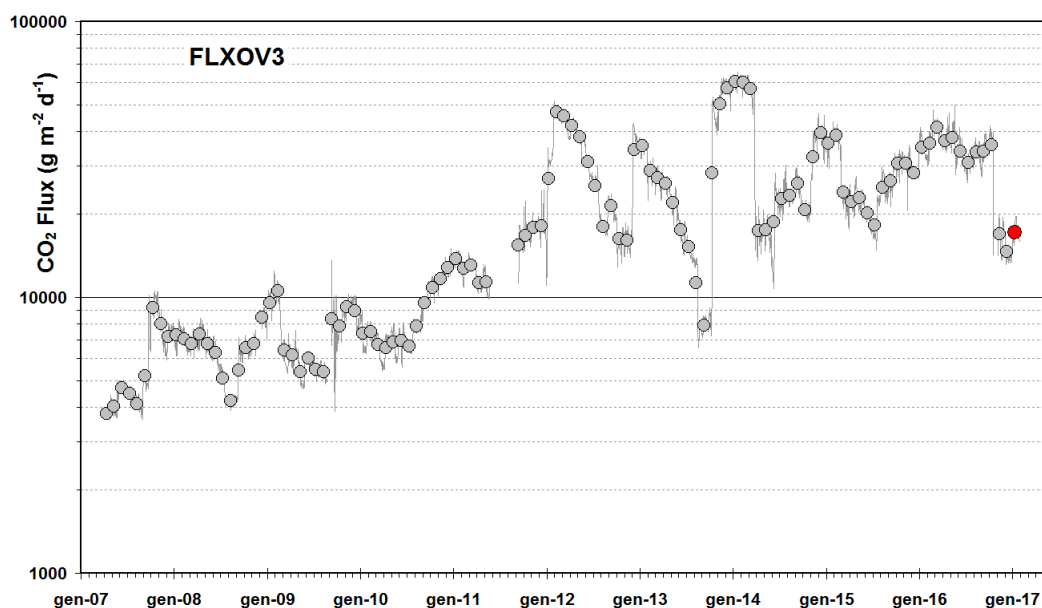
**Figura 3.5** - Variazioni macroscopiche dell'area di emissione di Pisciarelli dal 2005.



**Figura 3.6** - Cronogramma delle temperature (°C) della fumarola di Pisciarelli e dei maggiori eventi occorsi legati all'aumento dell'attività idrotermale (i cerchi si riferiscono a misure discrete riferite al punto di prelievo dei gas, la linea rossa si riferisce alle medie giornaliere delle misure in continuo). La temperatura di ~95°C rappresenta la temperatura di ebollizione per i fluidi fumarolici di Pisciarelli. Nella foto è riportata la nuova vigorosa fumarola sorta il 20 dicembre 2009.



**Figura 3.7** - Temperature registrate in continuo della fumarola di Pisciarelli.



**Figura 3.8** - Medie giornaliere (linea) e medie mensili (cerchi) dei flussi di CO<sub>2</sub> misurati a Pisciarelli (FLXOV3). E' da evidenziare il continuo trend d'aumento nel tempo del flusso CO<sub>2</sub>. La media dei flussi relativa al mese di dicembre è riportata con il simbolo rosso. L'intervento di riparazione della stazione, reso necessario per ripristinare il sistema per la misura del flusso di CO<sub>2</sub> dal suolo, ha inevitabilmente comportato una modifica del sito con valori misurati di flusso di CO<sub>2</sub> più bassi.

## Bibliografia

- Caliro S., Chiodini G., Moretti R., Avino R., Granieri D., Russo M., and Fiebig J. (2007) The origin of the fumaroles of La Solfatara (Campi Flegrei, South Italy). *Geochimica et Cosmochimica Acta* **71**, 3040-3055. doi:10.1016/j.gca.2007.04.007.
- Caliro S., Chiodini G., and Paonita A. (2014) Geochemical evidences of magma dynamics at Campi Flegrei (Italy). *Geochim. Cosmochim. Acta* **132**, 1-15. doi:10.1016/j.gca.2014.01.021.
- Chiodini, G. (2009), CO<sub>2</sub>/CH<sub>4</sub> ratio in fumaroles a powerful tool to detect magma degassing episodes at quiescent volcanoes., *Geophys. Res. Lett.*, doi: [10.1029/2008GL036347](https://doi.org/10.1029/2008GL036347)
- Chiodini, G., S. Caliro, C. Cardellini, D. Granieri, R. Avino, A. Baldini, M. Donnini, and C. Minopoli (2010), Long-term variations of the Campi Flegrei, Italy, volcanic system as revealed by the monitoring of hydrothermal activity, *J. Geophys. Res.*, **115**, B03205, doi:10.1029/2008JB006258.
- Chiodini, G., R. Avino, S. Caliro, C. Minopoli (2011) Temperature and pressure gas geoindicators at the Solfatara fumaroles (Campi Flegrei). *Annals Geophysics*, **54**, 2. doi: 10.4401/ag-5002
- Chiodini G., Caliro S., De Martino P., Avino R. and Gherardi F. (2012). Early signals of new volcanic unrest at Campi Flegrei caldera? Insights from geochemical data and physical simulations. *Geology*, doi:10.1130/G33251.1
- Chiodini G., Vandemeulebrouck J., Caliro S, D'Auria L., De Martino P, Mangiacapra A., Petrillo Z. (2015a) Evidence of thermal driven processes triggering the 2005-2014 unrest at Campi Flegrei caldera. *Earth Planet. Sci. Lett.* **414**, 58–67. doi:10.1016/j.epsl.2015.01.012
- Chiodini G., Pappalardo L., Aiuppa A. and Caliro S. (2015b) The geological CO<sub>2</sub> degassing history of a long-lived caldera. *Geology*. doi:10.1130/G36905.1
- Chiodini G., Paonita A., Aiuppa A., Costa A., Caliro S., De Martino P., Acocella V. and Vandemeulebrouck J. (2016) Magmas near the critical degassing pressure drive volcanic unrest towards a critical state. *Nat. Commun.* **7**, 13712. doi: 10.1038/ncomms13712
- D'Amore F. and Panichi C. (1980) Evaluation of deep temperatures of hydrothermal systems by a new gas geothermometer. *Geochim. Cosmochim. Acta* **44**, 549-556.

---

### **Responsabilità e proprietà dei dati**

*L'INGV, in ottemperanza a quanto disposto dall'Art.2 del D.L. 381/1999, svolge funzioni di sorveglianza sismica e vulcanica del territorio nazionale, provvedendo alla organizzazione della rete sismica nazionale integrata e al coordinamento delle reti simiche regionali e locali in regime di convenzione con il Dipartimento della Protezione Civile.*

*L'INGV concorre, nei limiti delle proprie competenze inerenti la valutazione della Pericolosità sismica e vulcanica nel territorio nazionale e secondo le modalità concordate dall'Accordo di programma decennale stipulato tra lo stesso INGV e il DPC in data 2 febbraio 2012 (Prot. INGV 2052 del 27/2/2012), alle attività previste nell'ambito del Sistema Nazionale di Protezione Civile. In particolare, questo documento, redatto in conformità all'Allegato A del suddetto Accordo Quadro, ha la finalità di informare il Dipartimento della Protezione Civile circa le osservazioni e i dati acquisiti dalle reti di monitoraggio gestite dall'INGV su fenomeni naturali di interesse per lo stesso Dipartimento.*

*L'INGV fornisce informazioni scientifiche utilizzando le migliori conoscenze scientifiche disponibili; tuttavia, in conseguenza della complessità dei fenomeni naturali in oggetto, nulla può essere imputato all'INGV circa l'eventuale incompletezza ed incertezza dei dati riportati e circa accadimenti futuri che differiscano da eventuali affermazioni a carattere previsionale presenti in questo documento. Tali affermazioni, infatti, sono per loro natura affette da intrinseca incertezza.*

*L'INGV non è responsabile dell'utilizzo, anche parziale, dei contenuti di questo documento da parte di terzi, e/o delle decisioni assunte dal Dipartimento della Protezione Civile, dagli organi di consulenza dello stesso Dipartimento, da altri Centri di Competenza, dai membri del Sistema Nazionale di Protezione Civile o da altre autorità preposte alla tutela del territorio e della popolazione, sulla base delle informazioni contenute in questo documento. L'INGV non è altresì responsabile di eventuali danni recati a terzi derivanti dalle stesse decisioni.*

*La proprietà dei dati contenuti in questo documento è dell'INGV. La diffusione anche parziale dei contenuti è consentita solo per fini di protezione civile ed in conformità a quanto specificatamente previsto dall'Accordo Quadro sopra citato tra INGV e Dipartimento della Protezione Civile.*